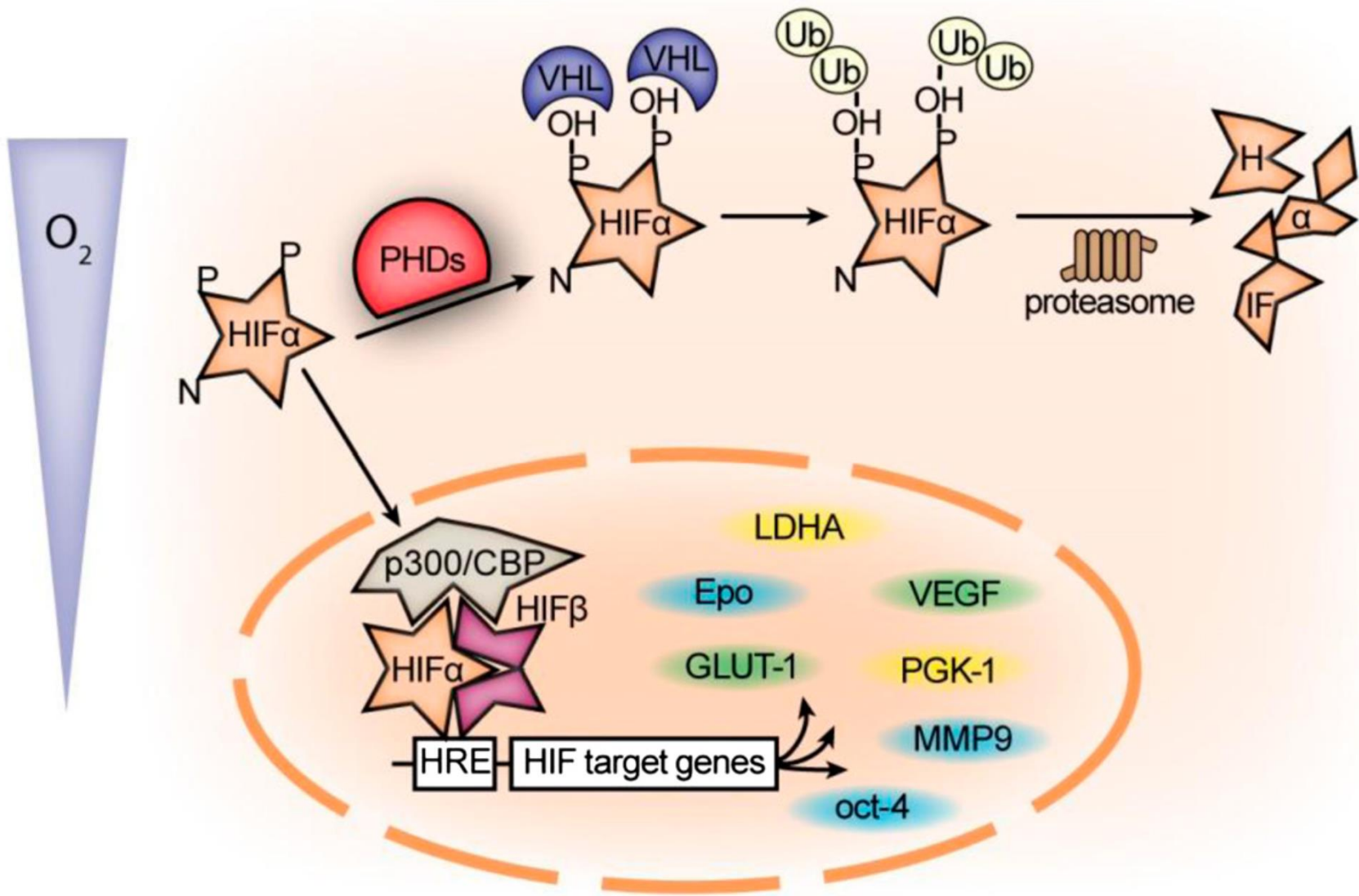
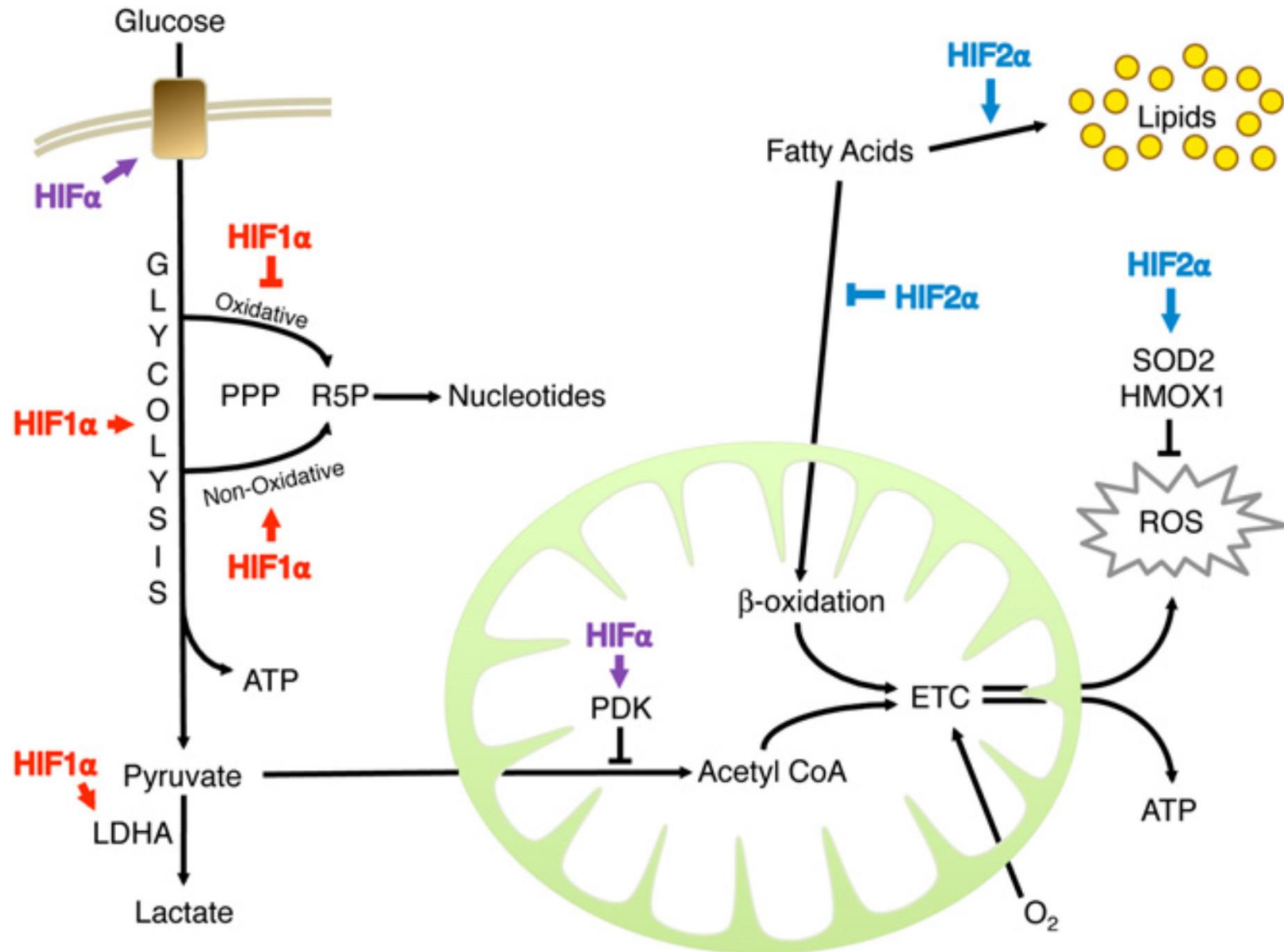


Fig 1. The hypoxia-inducible factor (HIF) transcriptional cascade directly regulates genes with key functions in a broad range of processes. The complex binds in a sequence-specific manner to control elements in DNA, termed hypoxia-response elements, at target gene loci.



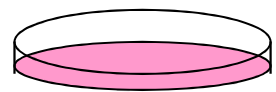
HIF Metabolismo e Mitocondrio

HIF α Control of Cell Metabolism



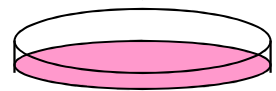
Activation of Hypoxia-inducible Transcription Factor Depends Primarily upon Redox-sensitive Stabilization of Its α Subunit

Eric Huang et al. - JBC 1996



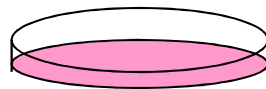
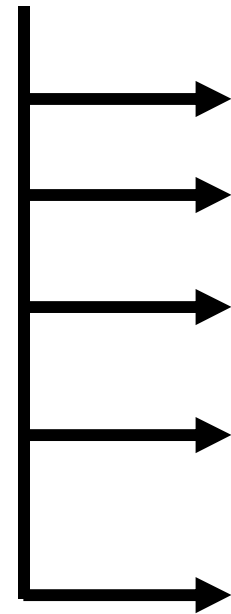
HeLa cells

20% O₂

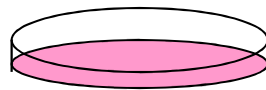


HeLa cells

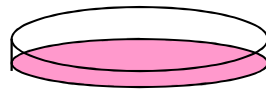
1% O₂ per 4h



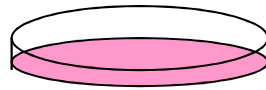
20% O₂ per 0 min



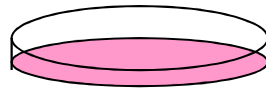
20% O₂ per 5 min



20% O₂ per 10 min



20% O₂ per 30 min



20% O₂ per 60 min

Lisi delle cellule

-Quantificazione mRNA di HIF1

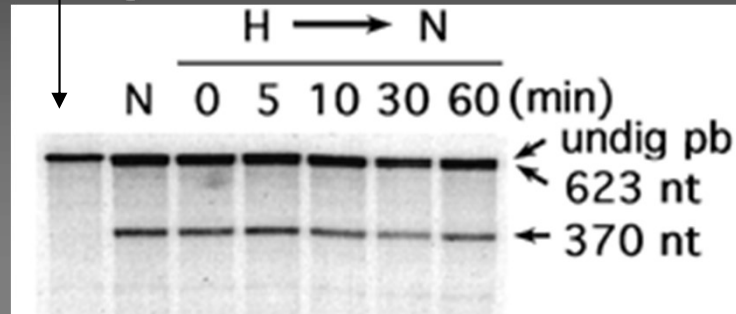
-Quantificazione proteine: HIF1 α e HIF1 β

Activation of Hypoxia-inducible Transcription Factor Depends Primarily upon Redox-sensitive Stabilization of Its α Subunit

Huang et al. - JBC 1996

H=hypoxia; N=normoxia

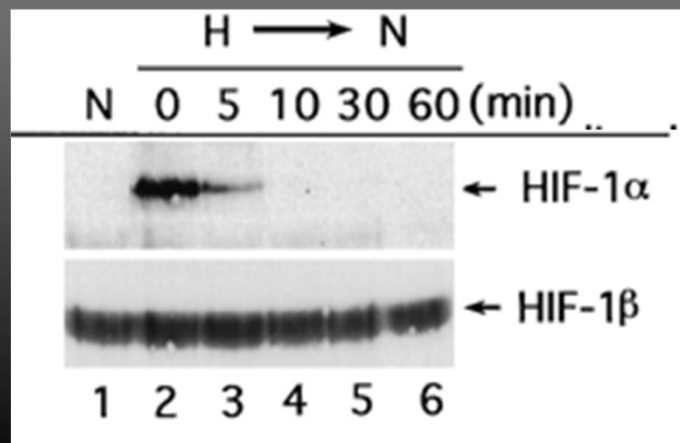
Sonda indigerita



HIF1 α è espresso a livello di mRNA.

Quantificazione proteine → **Western blot**

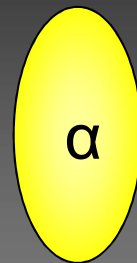
Ibridazione con anticorpi anti HIF1 α e HIF1 β



HIF1 α è presente solo in condizioni di ipossia

HIF1 β è sempre presente

Struttura di HIF1



Prolina-Idrossilasi

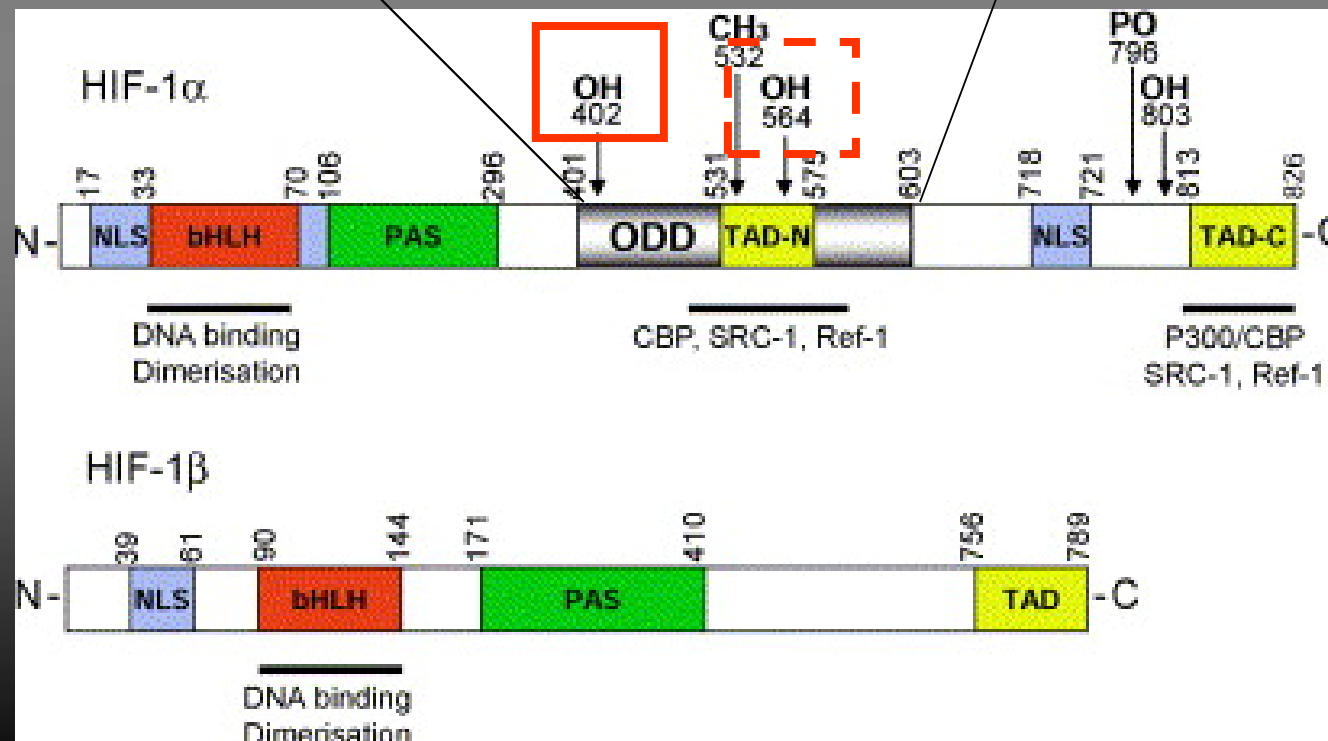


Pro402—OH

α

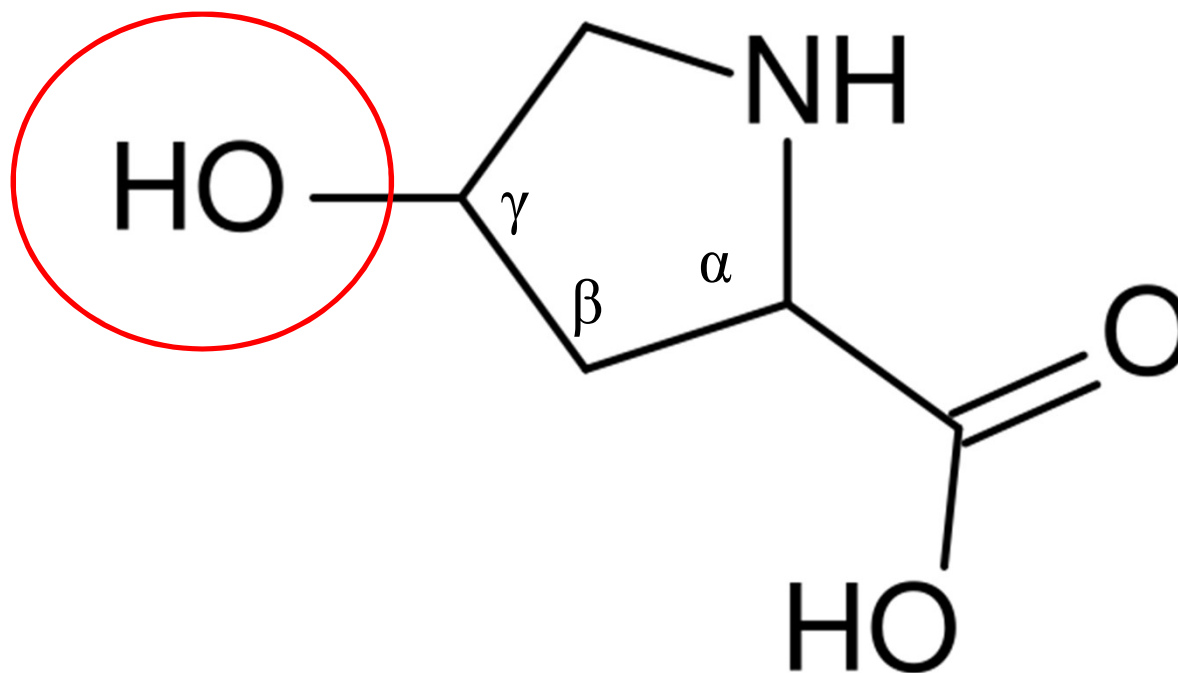
Pro564—OH

Sequenza di idrossilazione



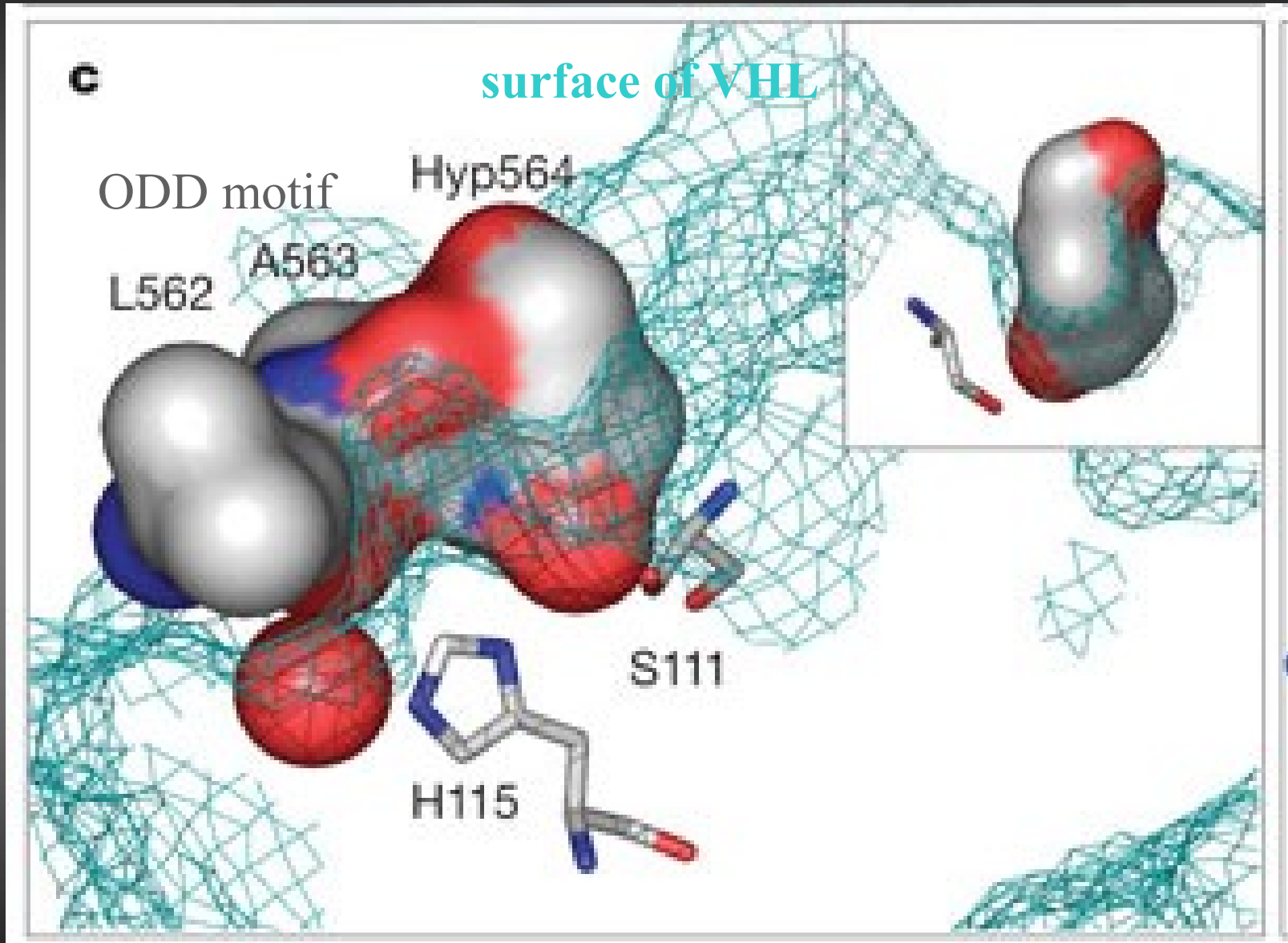
Riconoscimento specifico
dell'idrossiprolina
da parte del complesso di VHL

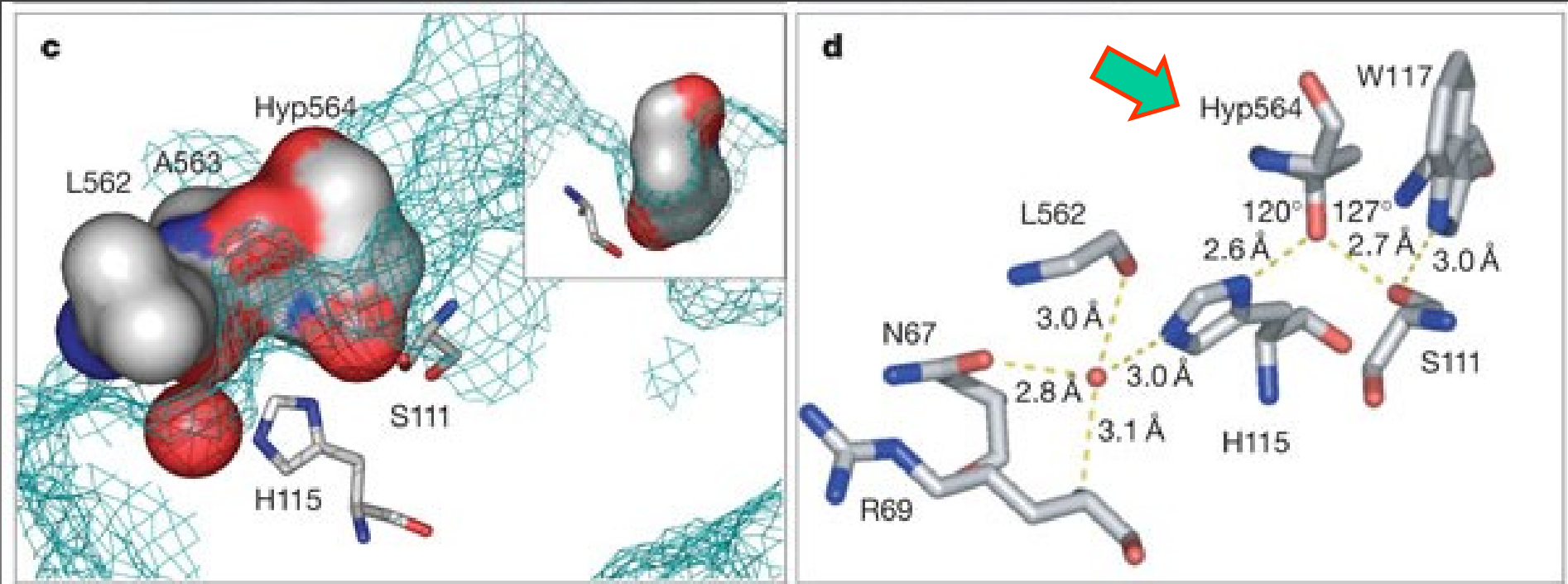
Idrossiprolina - Hyp



4-hydroxypyrrolidine-2-carboxylic acid

Hyp-binding pocket (VHL)



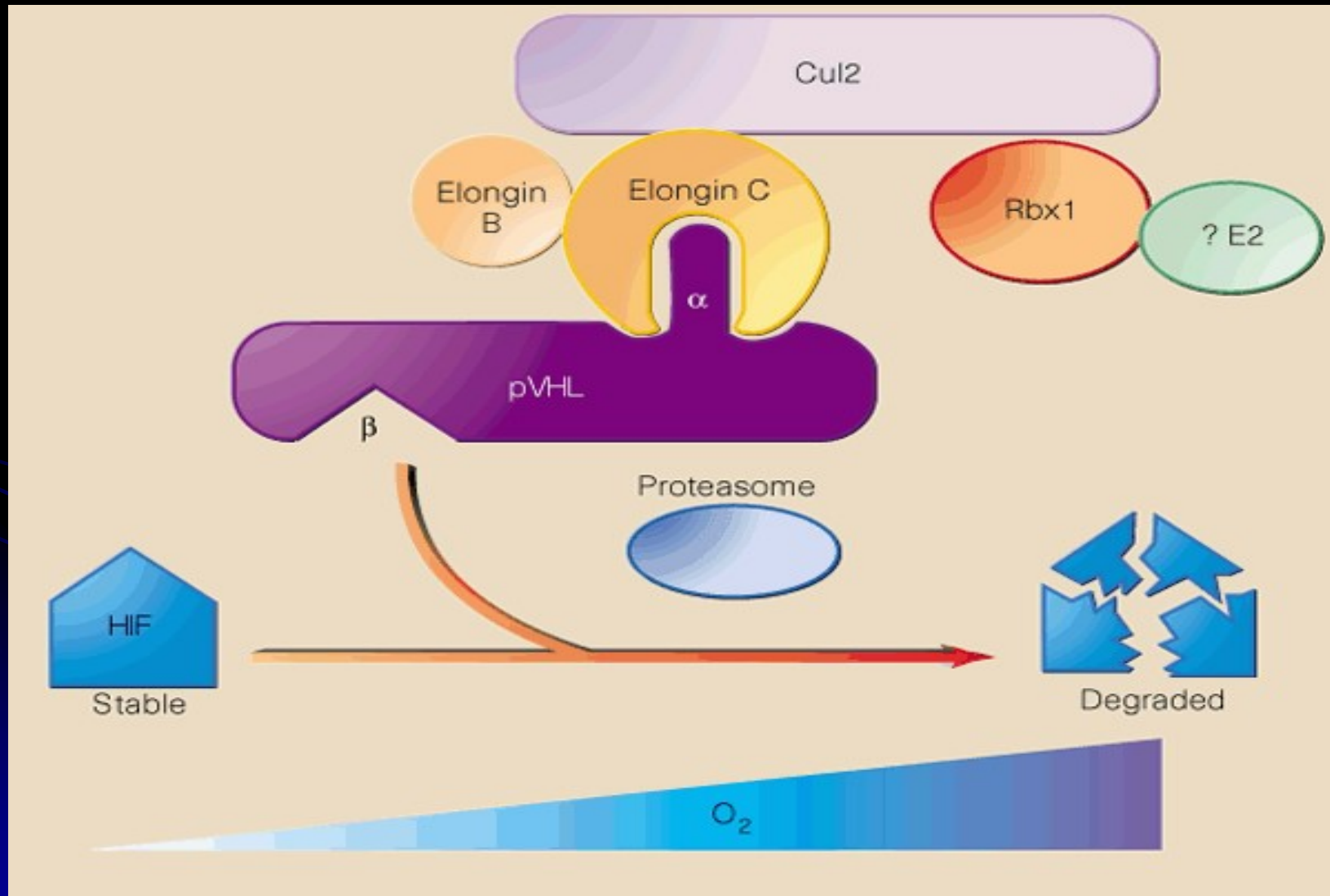


The hydrogen-bonding network (VHL) involved in binding of the Hyp564 hydroxyl group (Hif)

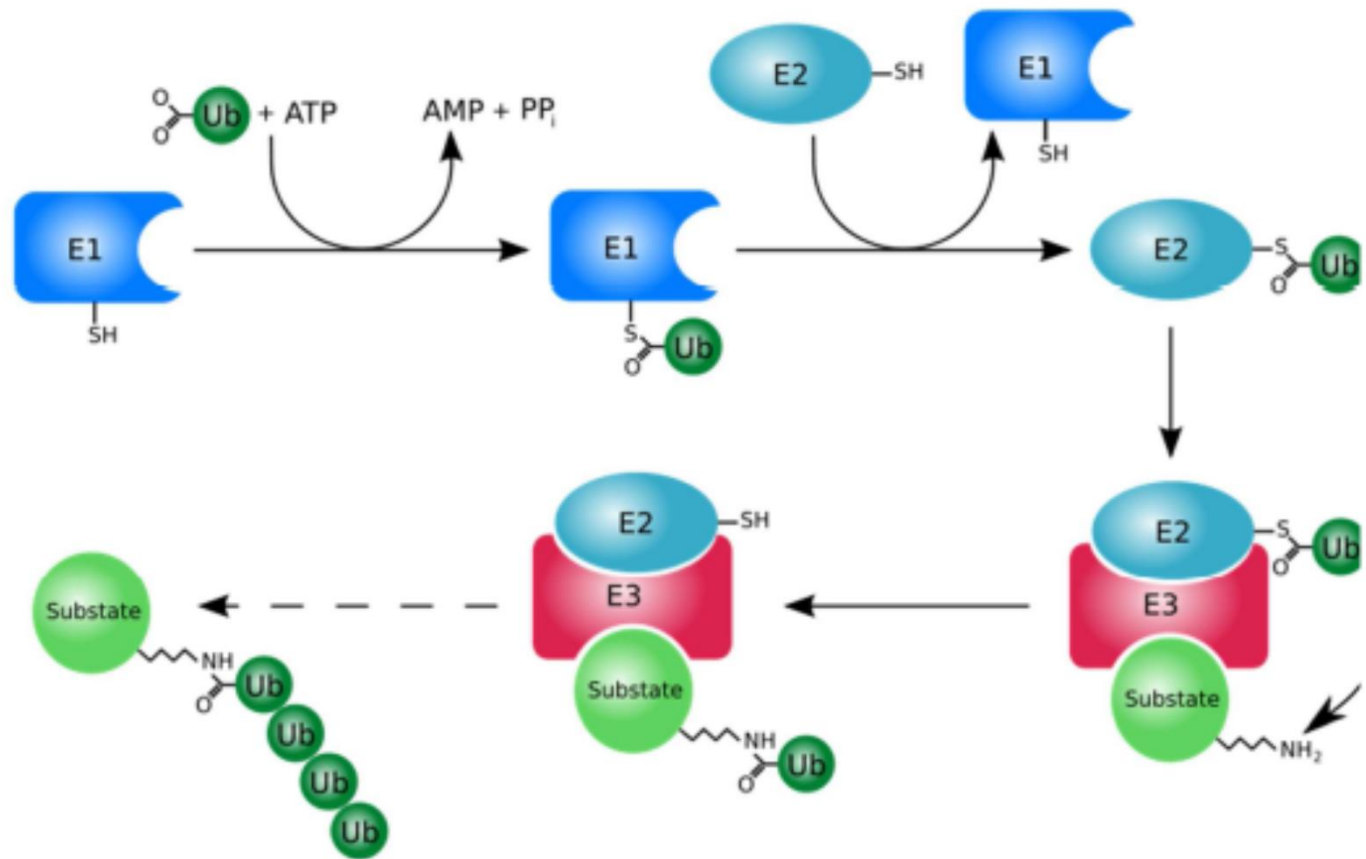
red sphere = key water molecule

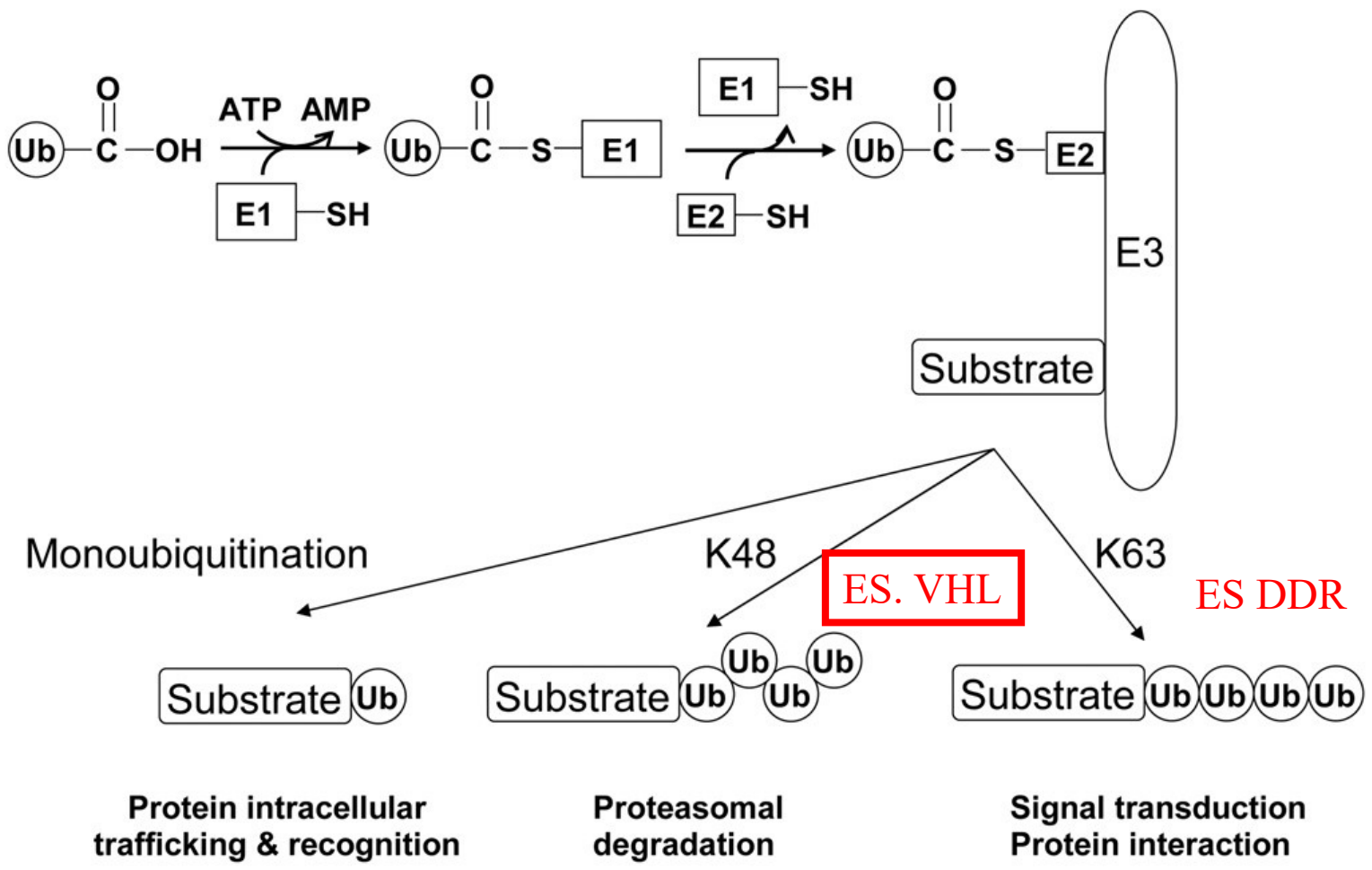
HIF e VHL fanno parte di complessi molecolari
con molte componenti

VHL Function

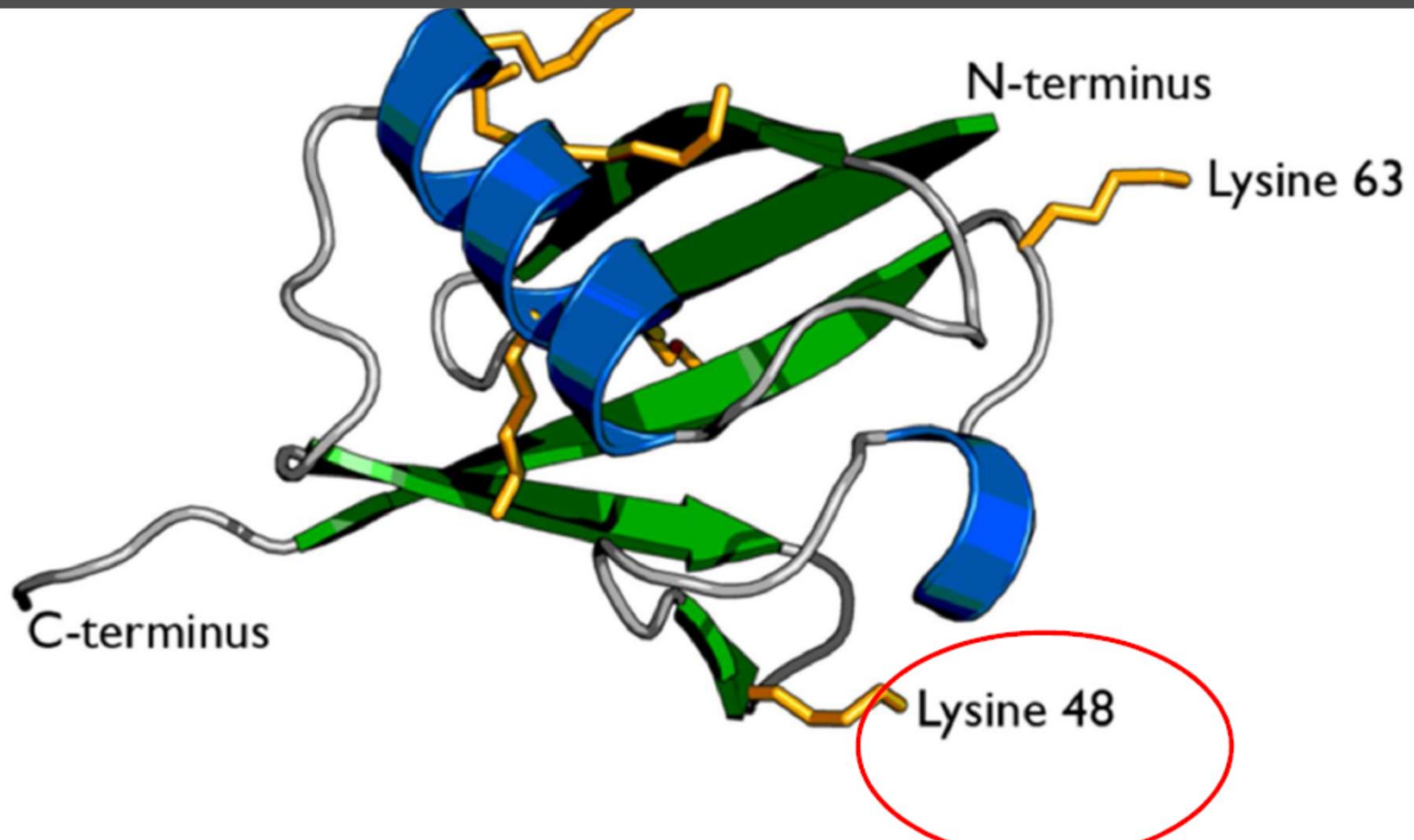


UBIQUITINIZZAZIONE



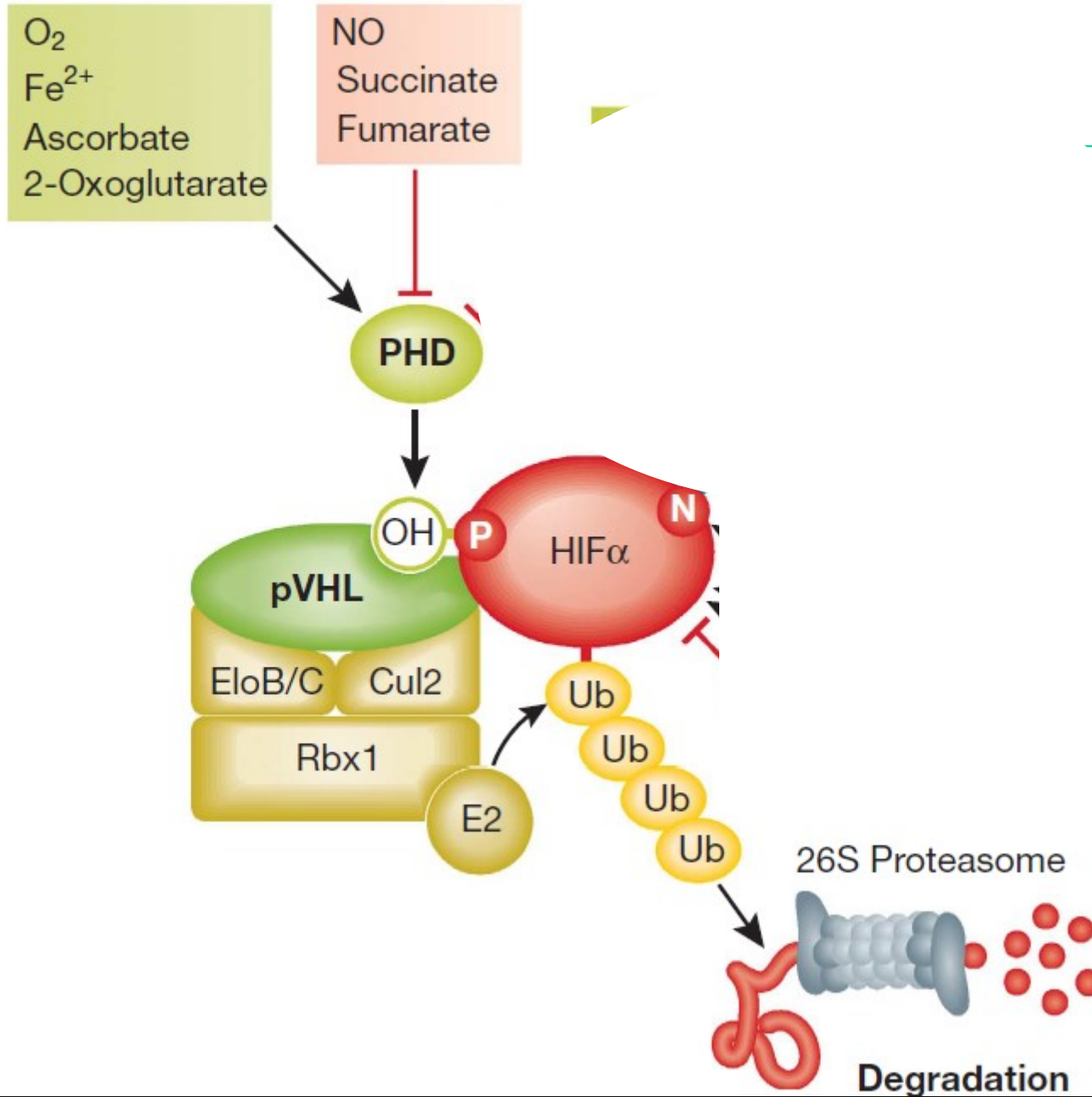


UBIQUITINA



Le prolil idrossilasi (PHD) hanno ruolo c
e sono finemente regolate

A Normoxia



Concentrations of oxygen in tissues

- range 10–30 μM -

below the K_m for oxygen of the hydroxylases

Concentrations of oxygen is limiting for enzyme activity over the entire physiological range.

Basi molecolari della policitemia

Policitemia di Chuvash

Ang et al. Nature Genetics 2002

- Policitemia autosomica recessiva trovata in Russia

Table 1 • Biochemical parameters in Chuvash polycythemia

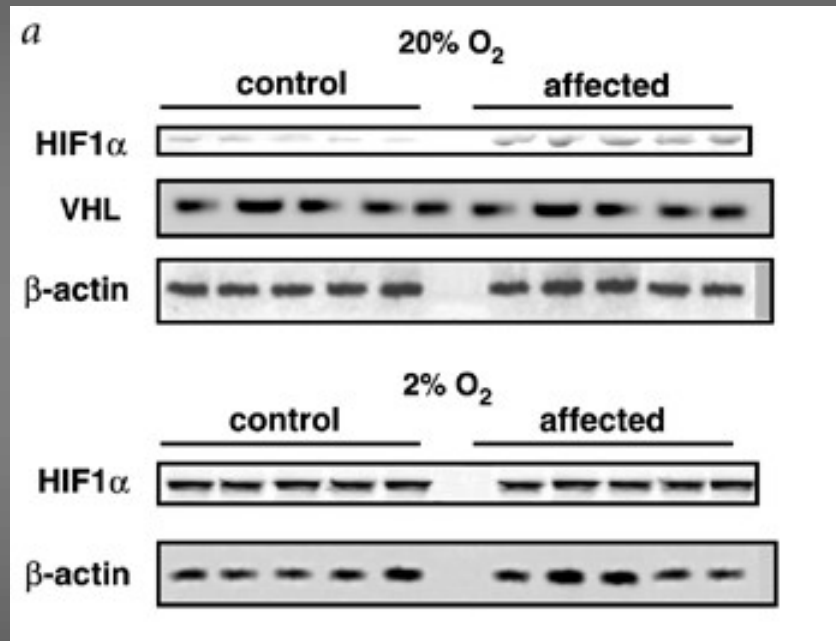
| | Individuals with Chuvash polycythemia (n = 20) | Unaffected relatives (n = 51) | P |
|--|--|----------------------------------|-------|
| Erythropoietin (mIU ml ⁻¹) | 61.9 ± 12.8 | 6.4 ± 6.9 | 0.001 |
| Serum ferritin ^a (ng ml ⁻¹) | 19 (15–24) | 28 (25–32) | 0.2 |
| Serum iron (µg dL ⁻¹) | 64 ± 15 | 81 ± 9 | 0.4 |
| Total iron binding capacity (µg dL ⁻¹) | 427 ± 18 | 346 ± 10 | 0.001 |
| Transferrin saturation (%) | 16 ± 4 | 24 ± 2 | 0.1 |

Sequenziamento gene von Hippel Lindau (VHL) →
C/T transition, Arg/Trp200 (Pazienti omozigoti)

Disruption of oxygen homeostasis underlies congenital Chuvash polycythemia

Sonny O. Ang

Nature genetics 2002, volume 32 no. 4 pp 614 - 621



Western blot, 5 pazienti + 5 controlli

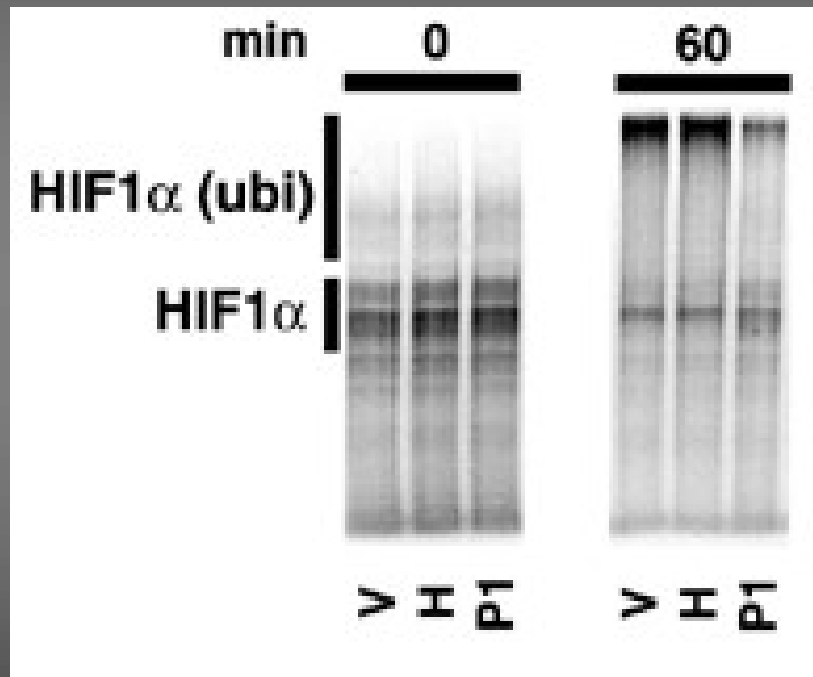
20% O₂:

- Livelli di proteina VHL normali in mutato e Wt
- Livelli di HIF1α maggiori nei soggetti affetti

Disruption of oxygen homeostasis underlies congenital Chuvash polycythemia

Sonny O. Ang

Nature genetics 2002, volume 32 no. 4 pp 614 - 621



V= controllo (Wild type)

H= eterozigote

P1= paziente (omozigote)

La forma ubiquitinizzata è meno presente nelle cellule del paziente

Mutazione Arg200Trp:

- Ridotta ubiquitinizzazione di HIF1 α

- Aumentata espressione del gene Epo \rightarrow policitemia

Increased survival, proliferation, and differentiation of erythroid progenitor cells

